

Fig. 1

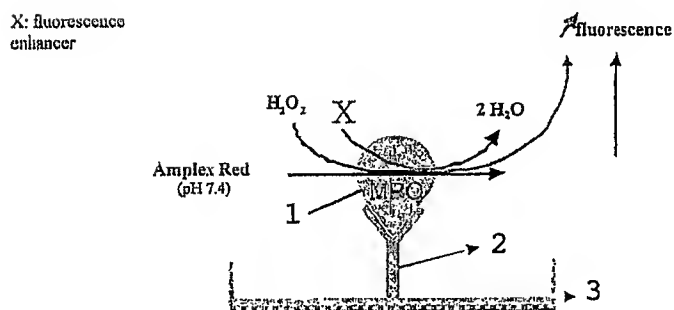


Fig. 2

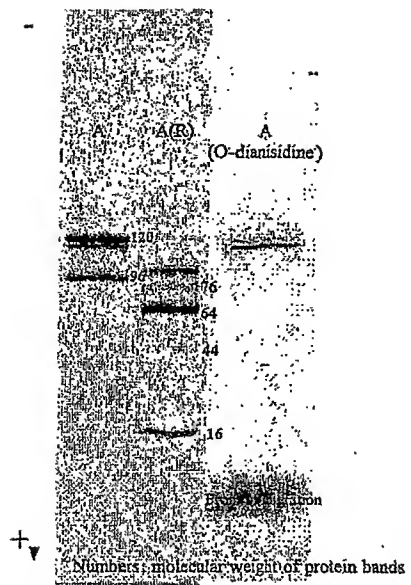


Fig. 3

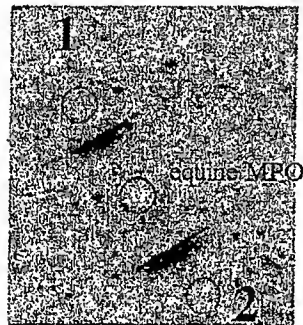
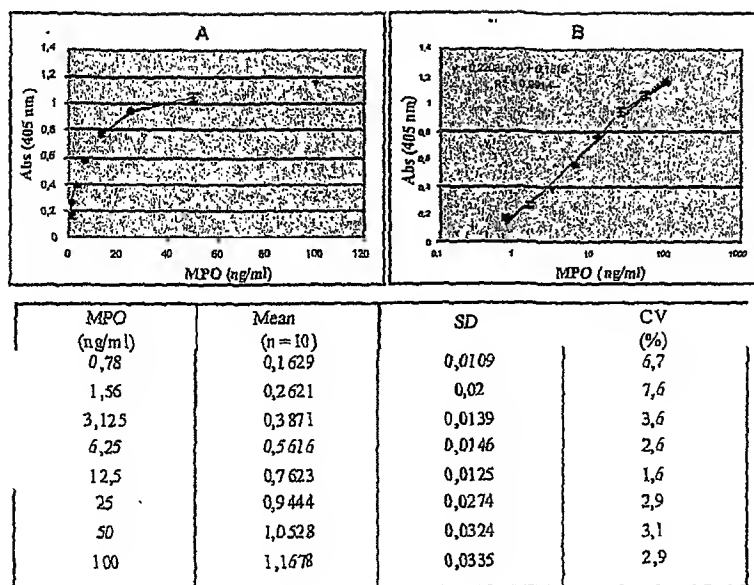
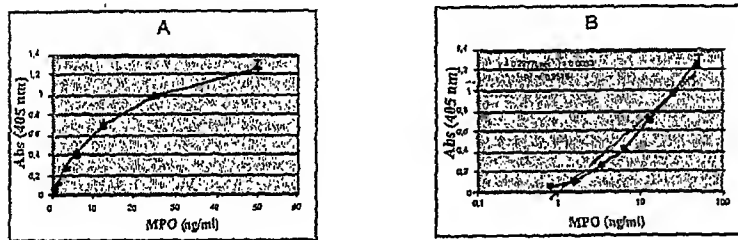
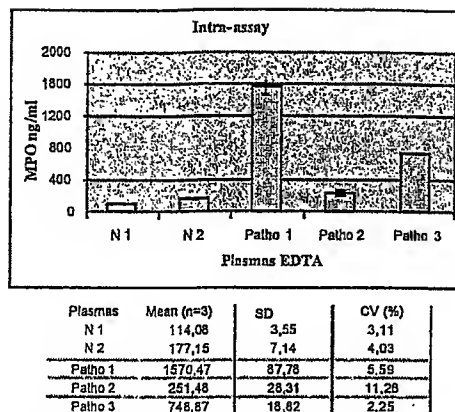
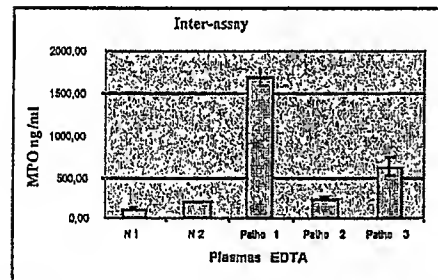


Fig. 4

Fig. 5

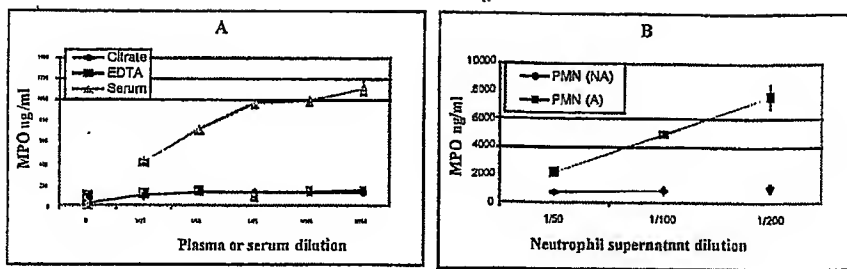
| MPO ng/ml | Mean n= 10 | SD | CV % |
|-----------|------------|-------|-------|
| 0,78 | 0,038 | 0,001 | 17,24 |
| 1,56 | 0,114 | 0,009 | 7,89 |
| 3,125 | 0,265 | 0,008 | 3,04 |
| 6,25 | 0,412 | 0,023 | 5,50 |
| 12,5 | 0,701 | 0,032 | 4,56 |
| 25 | 0,976 | 0,019 | 1,95 |
| 50 | 1,264 | 0,064 | 5,06 |

Fig. 6

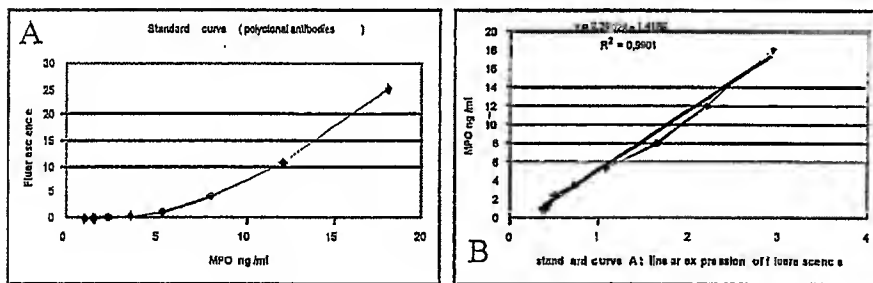
Fig. 7

| Assay number | N1 | N2 | Patho 1 | Patho 2 | Patho 3 |
|--------------|--------|--------|---------|---------|---------|
| 1 | 114,08 | 177,15 | 1570,47 | 251,48 | 748,87 |
| 2 | 124,42 | 205,14 | 1733,12 | 239,21 | 558,53 |
| 3 | 126,91 | 219,88 | 1703,56 | 264,26 | 573,81 |
| Mean | 121,80 | 200,72 | 1879,05 | 245,65 | 828,84 |
| SD | 6,81 | 21,70 | 98,84 | 17,20 | 105,89 |
| C.V. | 5,60 | 10,51 | 5,37 | 6,92 | 13,05 |

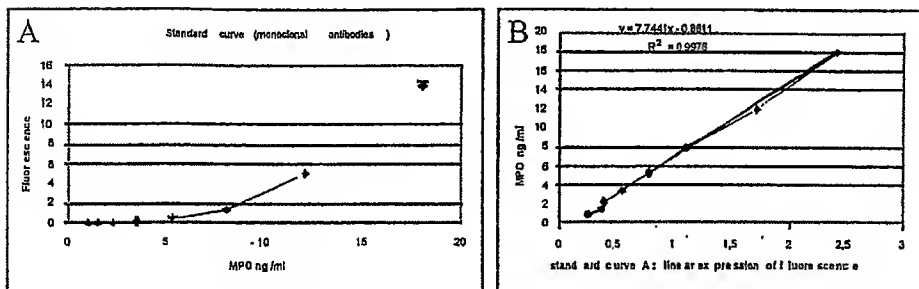
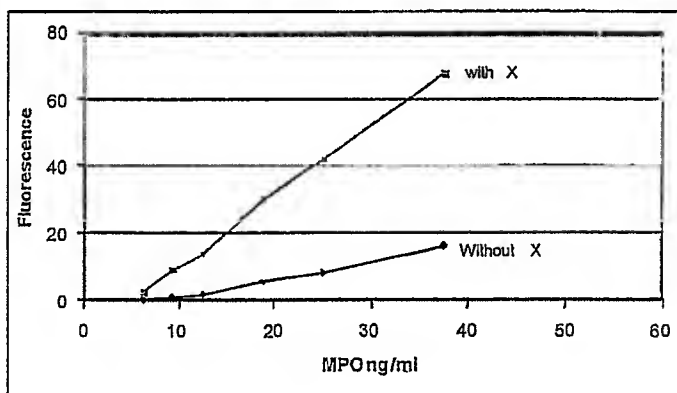
Fig. 8

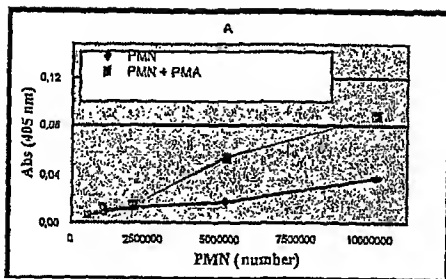
Fig. 9

| MPO (ng /ml) | Mean | SD (n=3) | CV (%) |
|--------------|--------|----------|--------|
| 18,00 | 24,825 | 0,4850 | 1,95 |
| 12,00 | 10,585 | 0,2801 | 2,65 |
| 8,00 | 4,428 | 0,4323 | 9,76 |
| 5,30 | 1,250 | 0,0683 | 5,46 |
| 3,55 | 0,392 | 0,0213 | 5,43 |
| 2,37 | 0,144 | 0,0026 | 1,78 |
| 1,58 | 0,095 | 0,0041 | 4,34 |
| 1,05 | 0,060 | 0,0030 | 4,89 |

Fig. 10

| MPO (ng/ml) | Mean | SD (n=3) | CV (%) |
|-------------|--------|----------|---------|
| 18 | 14,062 | 0,3966 | 2,8202 |
| 12 | 5,077 | 0,2441 | 4,8074 |
| 8 | 1,379 | 0,0708 | 5,1363 |
| 5,3 | 0,517 | 0,0168 | 3,2399 |
| 3,55 | 0,166 | 0,0103 | 6,2817 |
| 2,37 | 0,059 | 0,0062 | 10,4905 |
| 1,58 | 0,053 | 0,0099 | 18,6020 |
| 1,06 | 0,016 | 0,0047 | 31,3157 |

Fig. 11Fig. 12

Fig. 13

| | Active MPO concentration (ng/ml) | | |
|----------------------|----------------------------------|-------|--------|
| | Undiluted samples | | |
| | Mean | SD | CV (%) |
| Plasma N | | | |
| n=3 | 1,203 | 0,063 | 6,00 |
| n=4 | 1,564 | 0,054 | 3,45 |
| n=4 | 1,555 | 0,076 | 4,89 |
| n=3 | 1,585 | 0,019 | 1,20 |
| n=3 | 2,193 | 0,081 | 3,69 |
| Plasma P | | | |
| n=3 | 3,073 | 0,325 | 11,25 |
| n=3 | 1,442 | 0,042 | 2,91 |
| n=2 | 17,762 | 1,508 | 8,46 |
| Serum E, g, N | | | |
| n=3 | 5,275 | 0,19 | 3,60 |
| n=3 | 2,483 | 0,224 | 9,02 |
| n=3 | 1,552 | 0,023 | 1,48 |
| Serum E, g, P | | | |
| n=3 | 5,593 | 0,633 | 9,52 |
| n=3 | 1,397 | 0,062 | 4,44 |
| n=3 | 1,5 | 0,015 | 1,00 |

Fig. 14

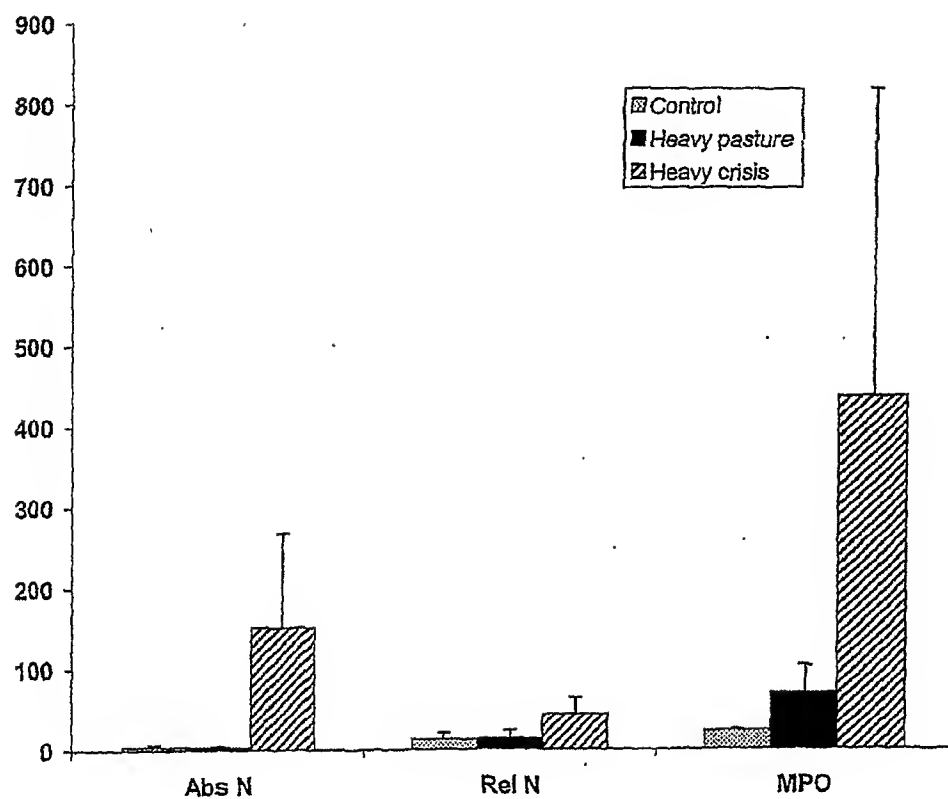


Fig. 15

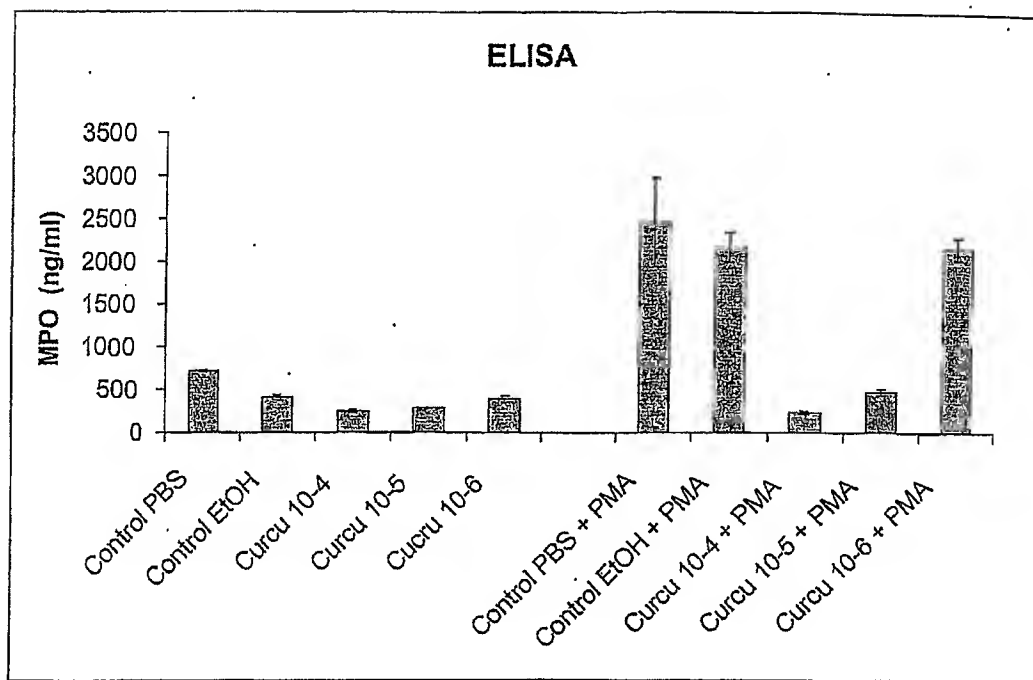


Fig. 16

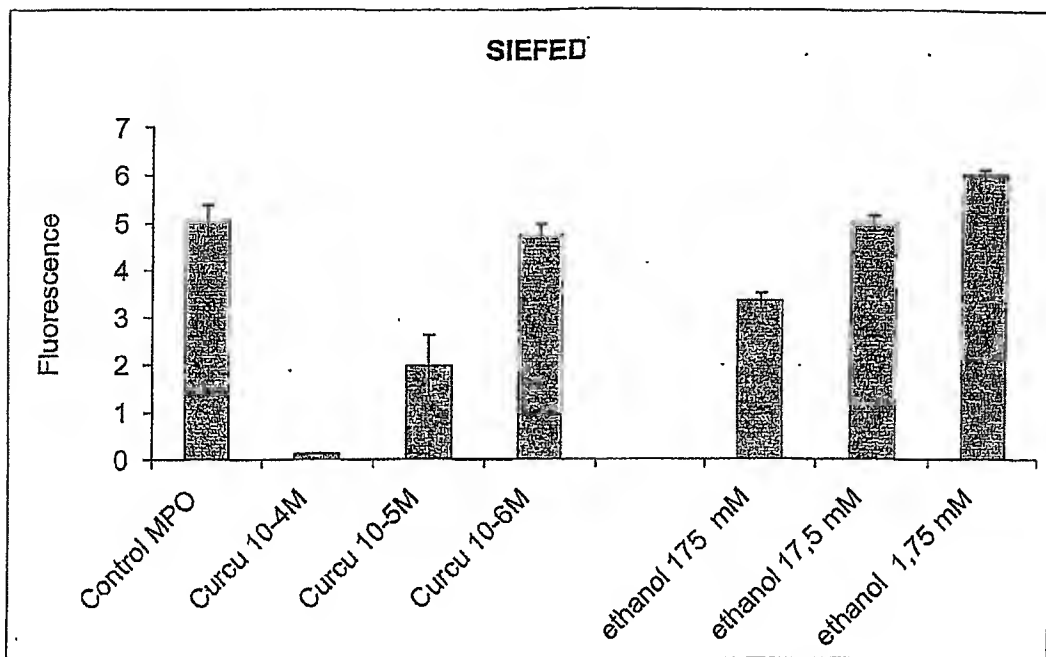
10/10
10/10

Fig. 17